

東北工業大学工学部	正員	小出 英夫
東北工業大学工学部	正員	秋田 宏
東北工業大学工学部	正員	小嶋 三男

### 1. 【まえがき】

本研究では、コンクリート曲げ破壊時の破壊機構の基礎的資料とする目的とし、無筋コンクリート角柱供試体を用いて3等分載荷による曲げ破壊実験を行い、6個のAEセンサーでAEを収集し、その発生源を解析した。なお、以下ではAEセンサーで観測されたAEおよび雑音を”イベント”と称する。

### 2. 【実験方法】

図-1に、実験に用いた供試体、載荷方法、AEセンサー配置図を示す。10×10×40(cm)のコンクリート供試体を用いて、3等分載荷による曲げ破壊実験を行った。載荷は耐圧試験機を用いて手動(2P=約140kgf/min)で行い、載荷点・支点での摩擦を少なくするため、それぞれローラーを用いた。供試体は実験直前に養生槽から取り出し、6個のAEセンサーの取り付け位置は平らに表面処理し、図で手前の面に1, 2, 5ch、その裏面に3, 4, 6chを配置した。使用コンクリートの配合を表-1に示す。

AE収集のための各種設定値は、全chにおいて、利得は60dB、ディスクリレベルは0.02V、ハイパス、ローパスフィルターは、それぞれ100kHz、1000kHzとした。

### 3. 【実験結果】

破壊時載荷荷重は、2P=2330kgfであった。1～6chで得られたイベント数は、それぞれ、2342, 1697, 2176, 1992, 2287, 2734個であり、図-2に時間による累積イベント数の変化を示す。全chとも、ほぼ同一の時間(約680secと950sec)に単位時間当たりのイベント発生数に変化があり、載荷開始より680secを期間①、680～950secを期間②、950～破壊時までを期間③とした。

イベント発生源の位置標定は、1, 2, 3, 4ch, 1, 2, 4, 5ch, 1, 3, 4, 6chの3組の4個のAEセンサーの組合せにより行った。2個のセンサー間の直線距離を伝播するのに要する時間以上の到達時間差は、同一のイベントに対して生じない条件を用いて、実験データを解析した結果から、AEの伝播速度は、2200m/secとした。

1, 2, 3, 4chからは182個、1, 2, 4, 5chからは198個、1, 3, 4, 6chからは181個のイベントが位置標定可能となり、重複するものを除くとイベント総数343個であった。このうち、供試体内に位置標定された136個をAEによるものとし図-3に示す。図-3は、図-2の期間①～③内に発生したAEの発生源を示している。なお、期間③においては、さらに3つの時間域a, b, cに分けて示している。左側の図は、

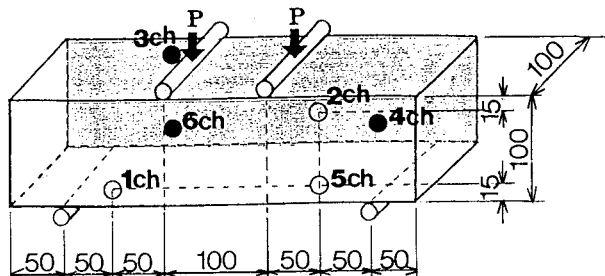


図-1 供試体、載荷方法、AEセンサー配置図

表-1 コンクリートの配合

粗骨材 の最大 寸法 (mm)	水セメント比 W/C (%)	細骨材率 S/a (%)	単位量 (kg/m³)			
			水 W	セメント C	細骨材 S	粗骨材 G
10	50	46	177	355	945	1115

図-1における手前1, 2, 5ch側からの供試体正面図

であり、右側の図は、図-1における右側からの供試体侧面図である。供試体正面図中央付近の実線および破線は、それぞれ正面、裏面(3, 4, 6ch側)における最終ひびわれであり、その間に破断面が存在している。

図-3より、①において供試体全域にAEが発生し、②になると、破壊可能領域である純曲げ区間に集中する。単位時間当たりのイベント発生数が急増する③においては、まず、③aの図でわかるように破断面下側に集中して発生し、③b, ③cと時間が進むに従い、発生源が周辺に広がっている。なお、③b, ③cにおける破断面下側周辺のAEの発生については、今回の実験におけるAEセンサーの配置が破断面をはさんで3個ずつであったため、破断がある程度進行すると三次元位置標定に必要な最低4個のセンサーに同一のAEが感知されないことによる“もれ”があると思われる。

#### 4. 【まとめ】

コンクリートの曲げ破壊におけるAEの発生特性は、以下のようであると思われる。

##### 1. 破壊荷重の65%程度のレベル

の荷重までは、単位時間当たりのAE発生数は低く、発生源も供試体内で広がっている。

##### 2. 破壊荷重の65%～95%程度のレベルの荷重では、それ以前の単位時間当たりのAE発生数よりは若干高くなり、発生源は、破断面となりえる純曲げ区間に集中していく。

##### 3. 破壊荷重の95%程度のレベルの荷重において、急激に単位時間当たりのAE発生数は増加し、まず、破断面の引張領域に集中して発生し、その後その周辺へと発生源が移っていく。

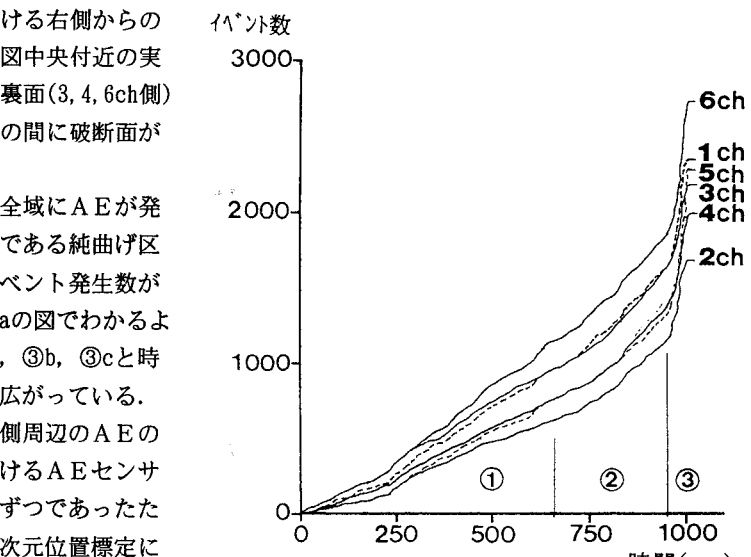


図-2 各AEセンサーにおける累積イベント数の変化

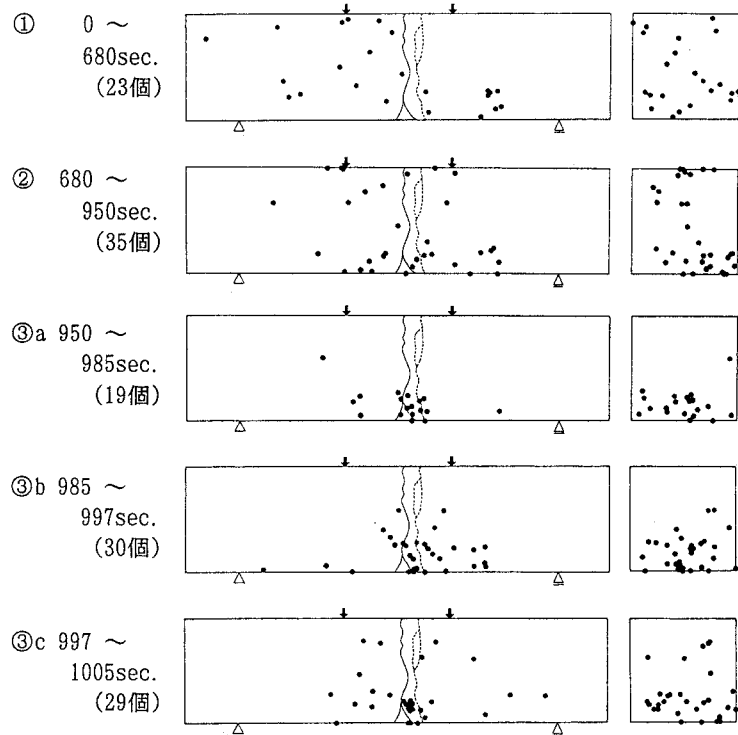


図-3 AE発生源の時間的変化